



Cellulose

Courbure
en fonction
du poids ?

Polymères

Taux de
déformation des
chaussures ?

Rigidité des
cartilages ?

Biomatériaux

Résistance à la
compression ?

Métaux

Céramiques

Contrainte de
rupture ?

Déformations du
matériau sous
pression interne
du pneu ?

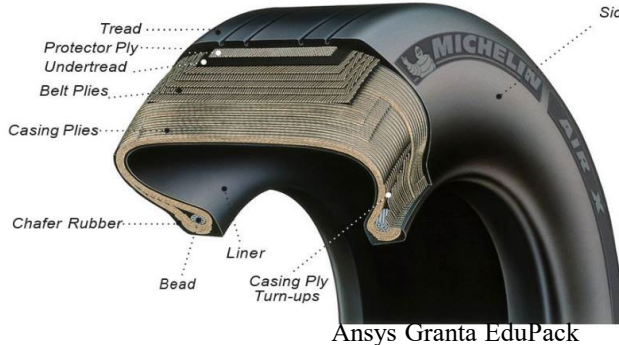
Composites

Quelles
forces ?

Matériaux de
construction

EPFL MSE100 2024

2



<https://www.chanel.com/ch>



<https://www.mammut.com>

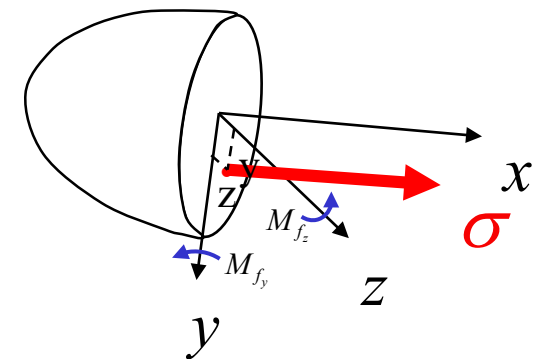
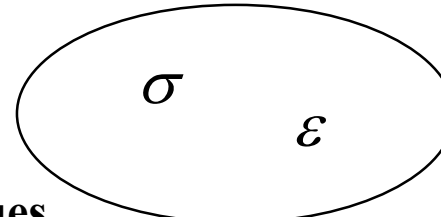
Introduction

Définitions, hypothèses

Torseurs des efforts intérieurs

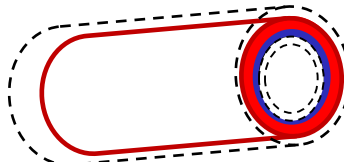
Principe d'équivalence

Moments d'une aire, moments statiques,
moments d'inertie



Traction et Compression

Bernoulli, St-Venant



Variation de températures

Pression interne

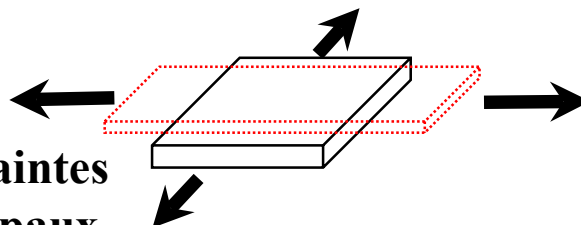
Force centrifuge

Influence du poids propre

Etat de contraintes

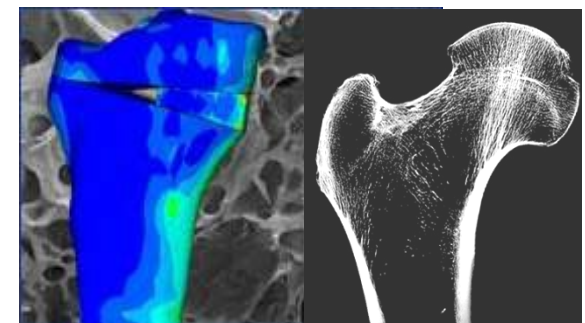
Cercle de Mohr

Energie de déformation



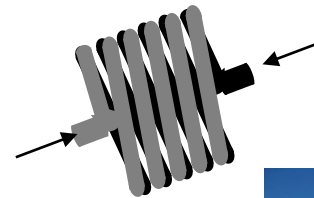
Etat bidimensionnel des contraintes

Axes et cercles de Mohr principaux



Cisaillement

Etat de contraintes, énergie de déformation



Torsion circulaire

Etat de contraintes, isostatiques, énergie de déformation

Flexion

Rappels de statique, hyperstatique

Flexion simple, états de contraintes, déformations

Méthode des équations différentielles, déformées

Flexion combinée

Energies de déformation élastique

Critères de performance

Concentrations de contraintes

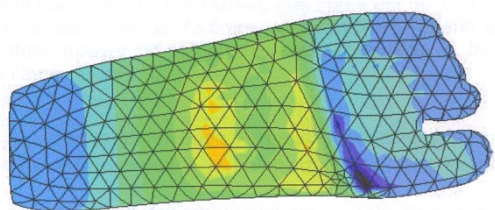
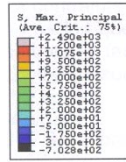
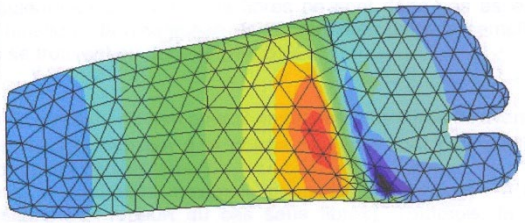
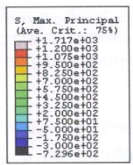
Les limites de l'élasticité

Etudes de cas :

Rails, sertissage à chaud, corde d'escalade, réservoirs sous pression, goupilles, chaîne, vis
arbres creux, ressorts hélicoïdaux, poutres, ponts, flambage, etc....



<https://www.marcoodermatt.ch/en/media-en>



Agenda

6

2025

MSE 205 Résistance des Matériaux

pierre-etienne.bourban@epfl.ch

jours	mois		
17	février	Intro , moments d'inertie	exo1: Statique
24	février	Traction, Hyperstatique	exo2: Moments géométriques
3	mars	Sertissage... Bidim	exo3: Cordes, réservoirs pressurisés
10	mars	Cisaillement et torsion	exo4: Goupilles, joints, agrafes
17	mars	Torsion et Ressorts	exo5: Arbres creux , Révision et questions
24	mars	Examen A (1/3)	
31	mars	Flexion, NTM	Correction Exa, exo6: courbures, potence
7	avril	Cisaillement, Déformée,Superposition, Hyperstatique	exo7: Moments max/min
14	avril	P. non prismatique, Energie, Castiglano	exo 8.1: Flèches
21	Pâques		
28	avril	Révision Flexion, exo 8.2	exo9 Superposition
5	mai	Concentration, Flambage,Rupture	exo10 : Flambages
12	mai	Questions ouvertes et prépa examen	
19	mai	Examen B (2/3)	
26	mai	Feedbacks	

Lundi 15h15 cours et exo

Documents sur Moodle

Examens écrits A et B

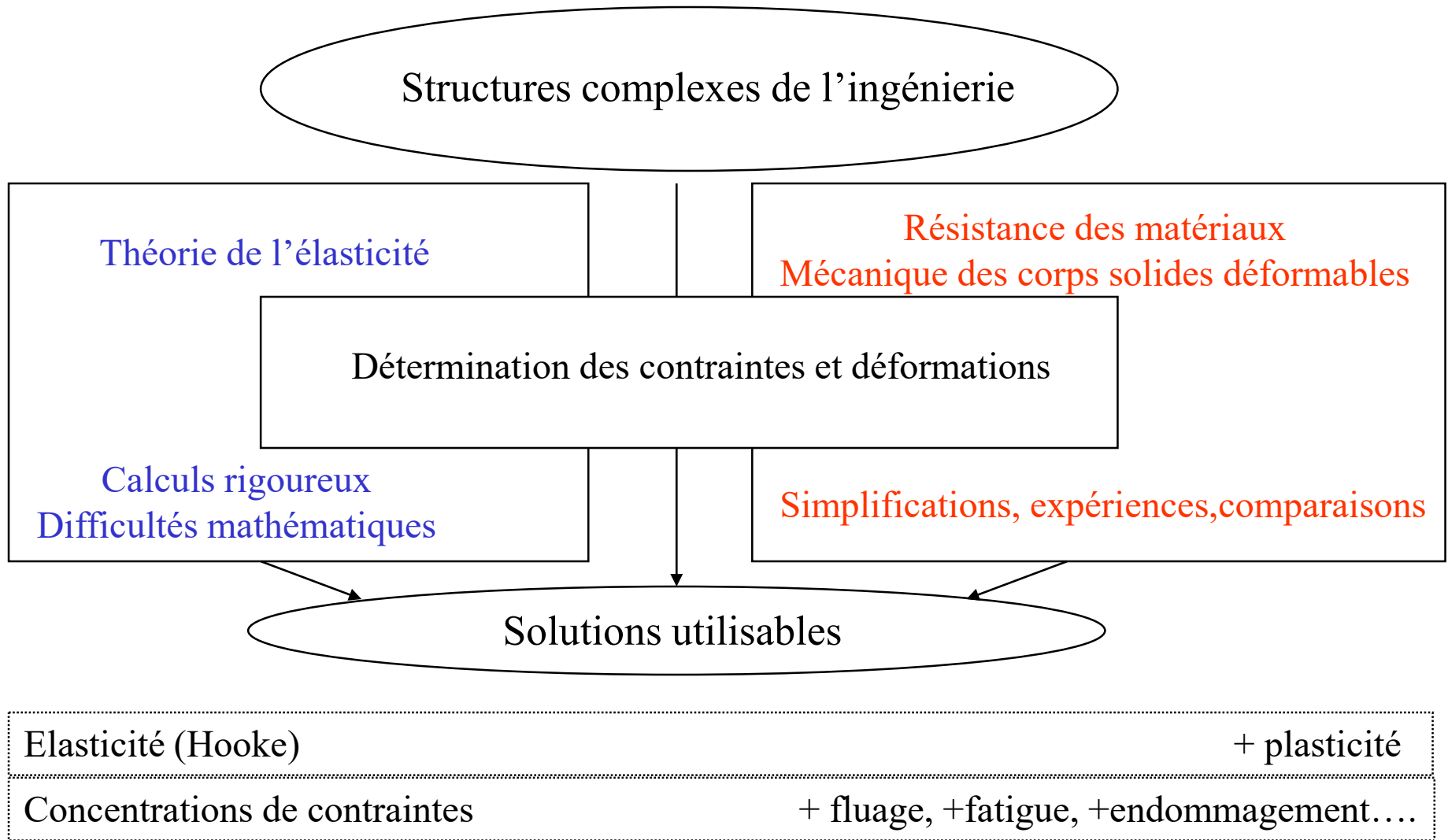
Bibliographie

7

- A. Bazergui et al, Résistance des matériaux, Presses Internationales Polytechnique, Montréal, 2003
- W.A. Nash , Résistance des matériaux, Schaum's, ed. McGraw-Hill, 2000
- M. Del Pedro, T. Gmur, Eléments de mécanique des structures, 2010, PPUR, EPFL Press
- M.F. Ashby, Materials Selection in Mechanical Design, 2010
- J.E. Gordon, Structures et matériaux, Pour la Science, 1994
- P. Agati, F. Lerouge, M. Rossetto, Résistance des matériaux, Dunod, 1999
- J. Goulet, J.-P. Boutin, Aide-mémoire, Résistance des matériaux, Dunod Paris, 2014
- + cf Bibliothèques

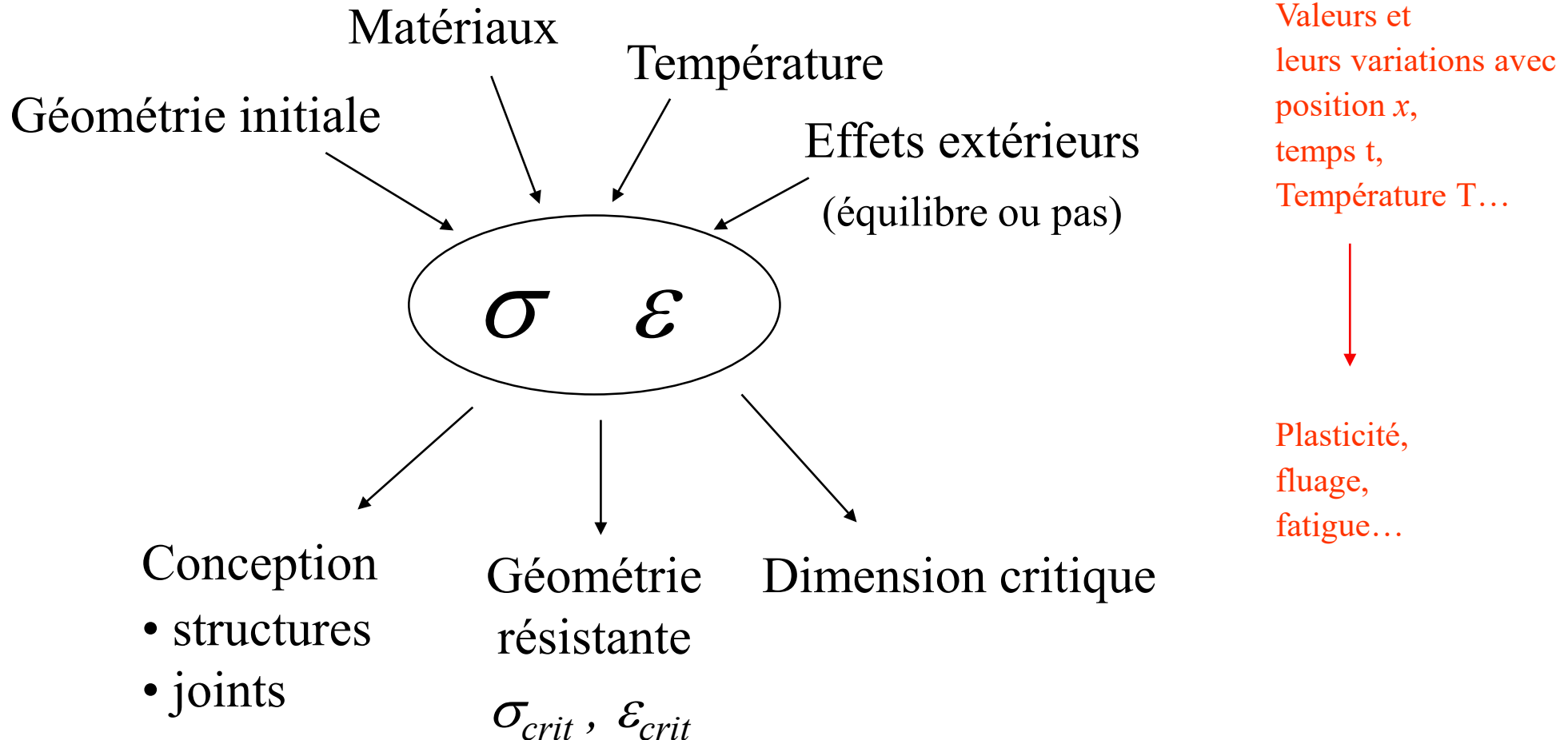
Introduction

8



Objectifs

9

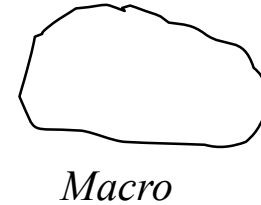
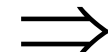
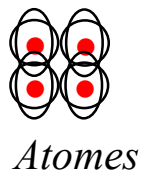


- Théorie de l'élasticité
 1. Relations $\sigma(\varepsilon)$
 2. Conditions aux limites
- Résistance de matériaux
 1. Cas simples d'efforts intérieurs correspondant à des états de σ typiques (traction, flexion...)
 2. Etude de cas complexes en les combinant

⇒ analyse de cas particuliers

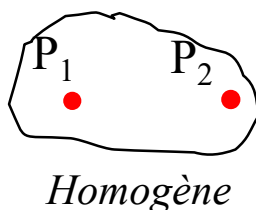
S'appuie sur des essais expérimentaux
⇒ Caractérisation mécanique des matériaux
⇒ Essais sur pièces réelles pour vérification

- *La continuité de la matière*

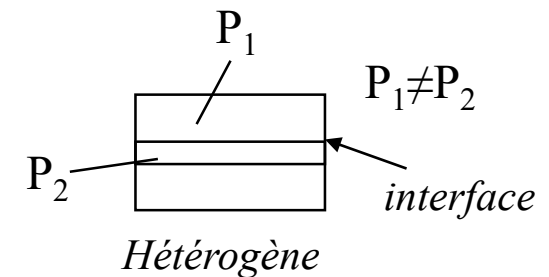


Matière solide et continue

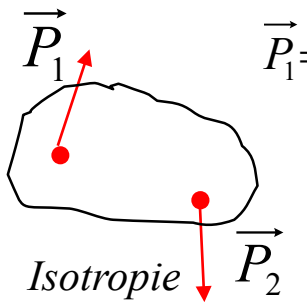
- *L'homogénéité*



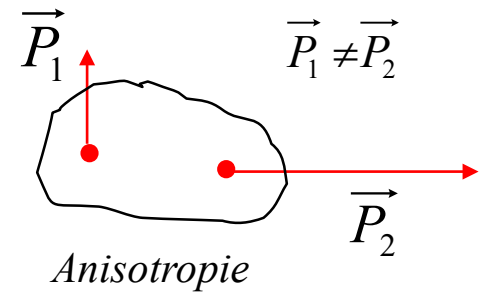
$$P_1 = P_2$$



- *L'isotropie*



$$\vec{P}_1 = \vec{P}_2$$



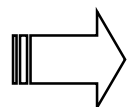
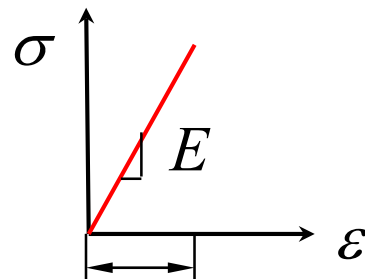
$$\vec{P}_1 \neq \vec{P}_2$$

- *Les déformations sont proportionnels aux contraintes*

Hooke (1678)

$$\sigma = E \varepsilon$$

- *Les déformations sont petites par rapport aux dimensions de l'objet étudié*

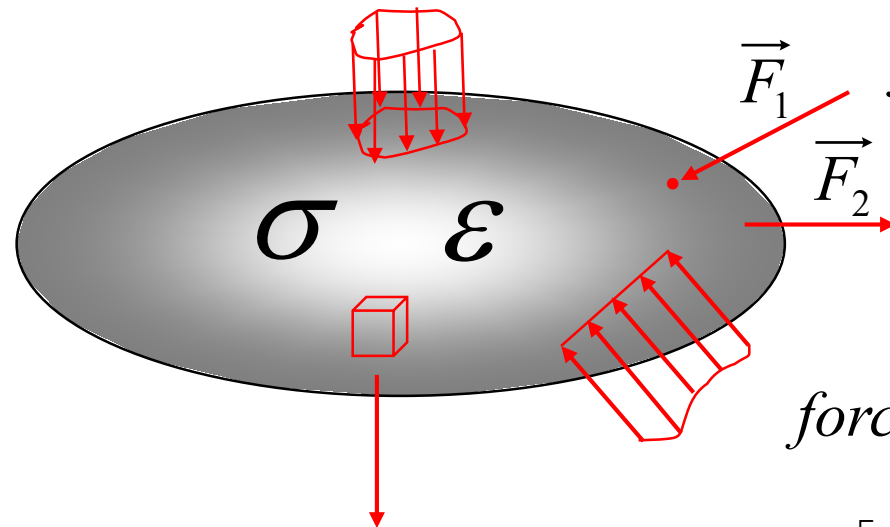


Conditions d'équilibre de la statique

$$\sum \vec{F} = 0$$

$$\sum \vec{M} = 0$$

forces surfaciques $\left[\frac{N}{m^2} \right]$



forces externes locales \vec{F} [N]

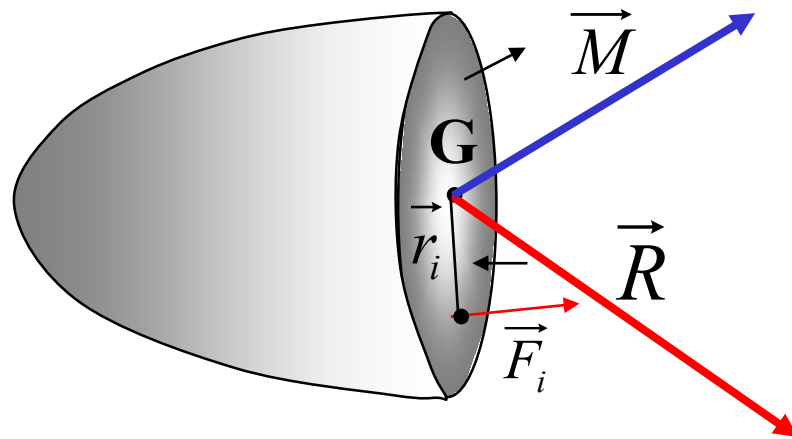
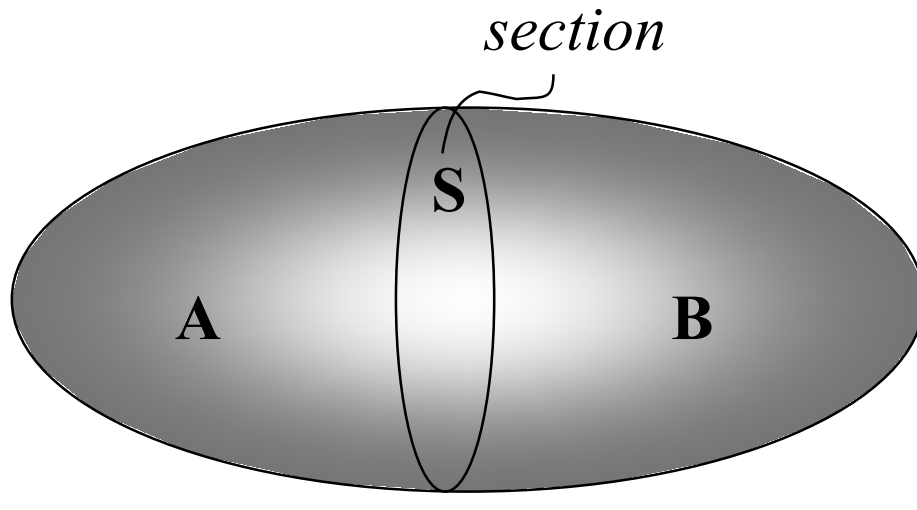
forces linéiques $\left[\frac{N}{m} \right]$

forces massiques (gravité) $\left[\frac{N}{m^3} \right]$

forces électromagnétiques...

Efforts intérieurs

14



- Remplacer l'action de B par:

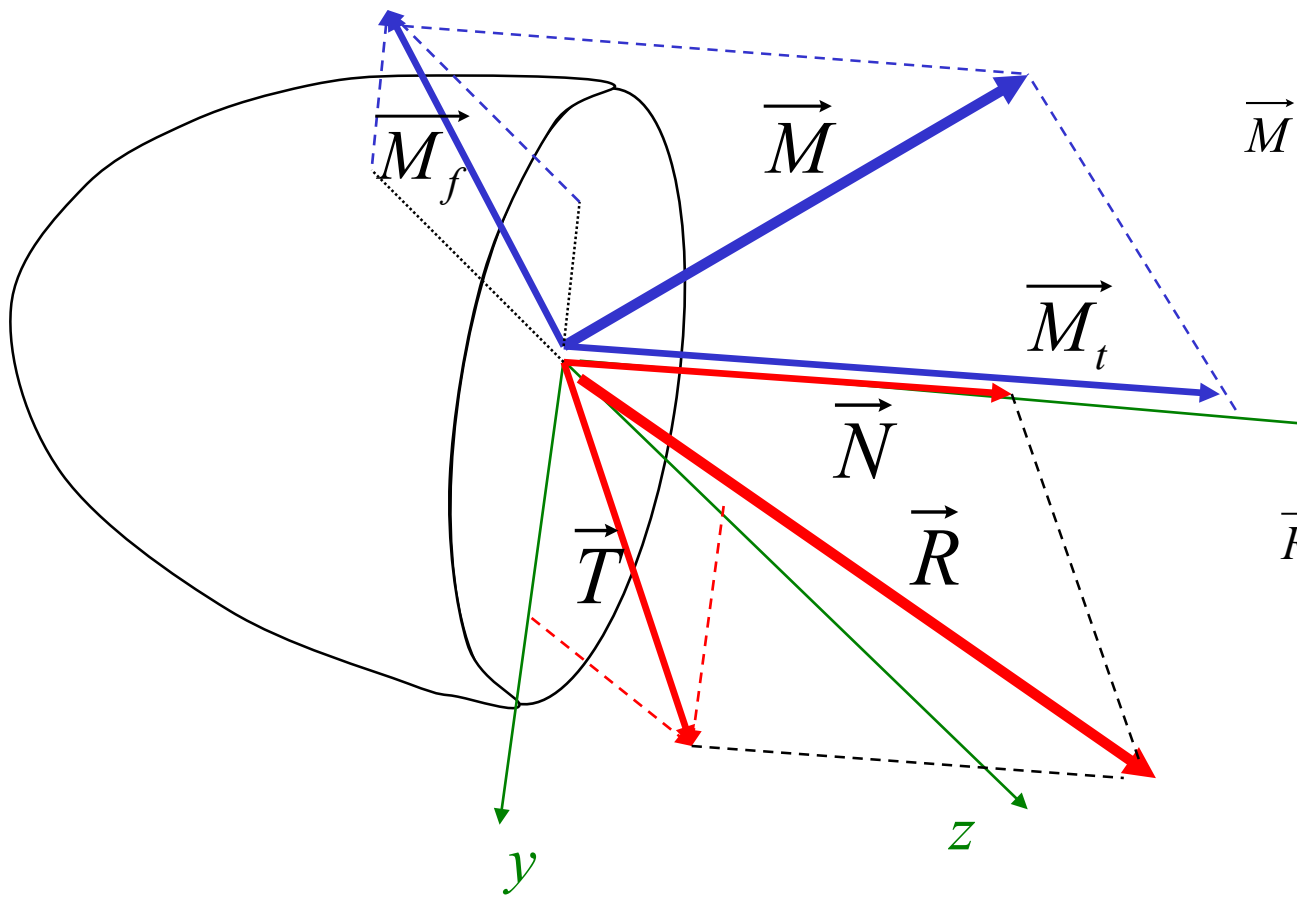
$$\vec{R} = \text{résultante des forces } \vec{F}$$

$\vec{M} = \text{moment résultant appliqué au centre de gravité de la section } S$

$$\left. \begin{aligned} \vec{R} &= \sum_B \vec{F}_i \\ \vec{M} &= \sum \vec{r}_i \wedge \vec{F}_i \end{aligned} \right\} \text{Torseur des efforts intérieurs}$$

Efforts intérieurs

15



$x, y, z > 0$

$\vec{M} \rightarrow \vec{M}_t$ torsion
 $\rightarrow \vec{M}_f$ flexion

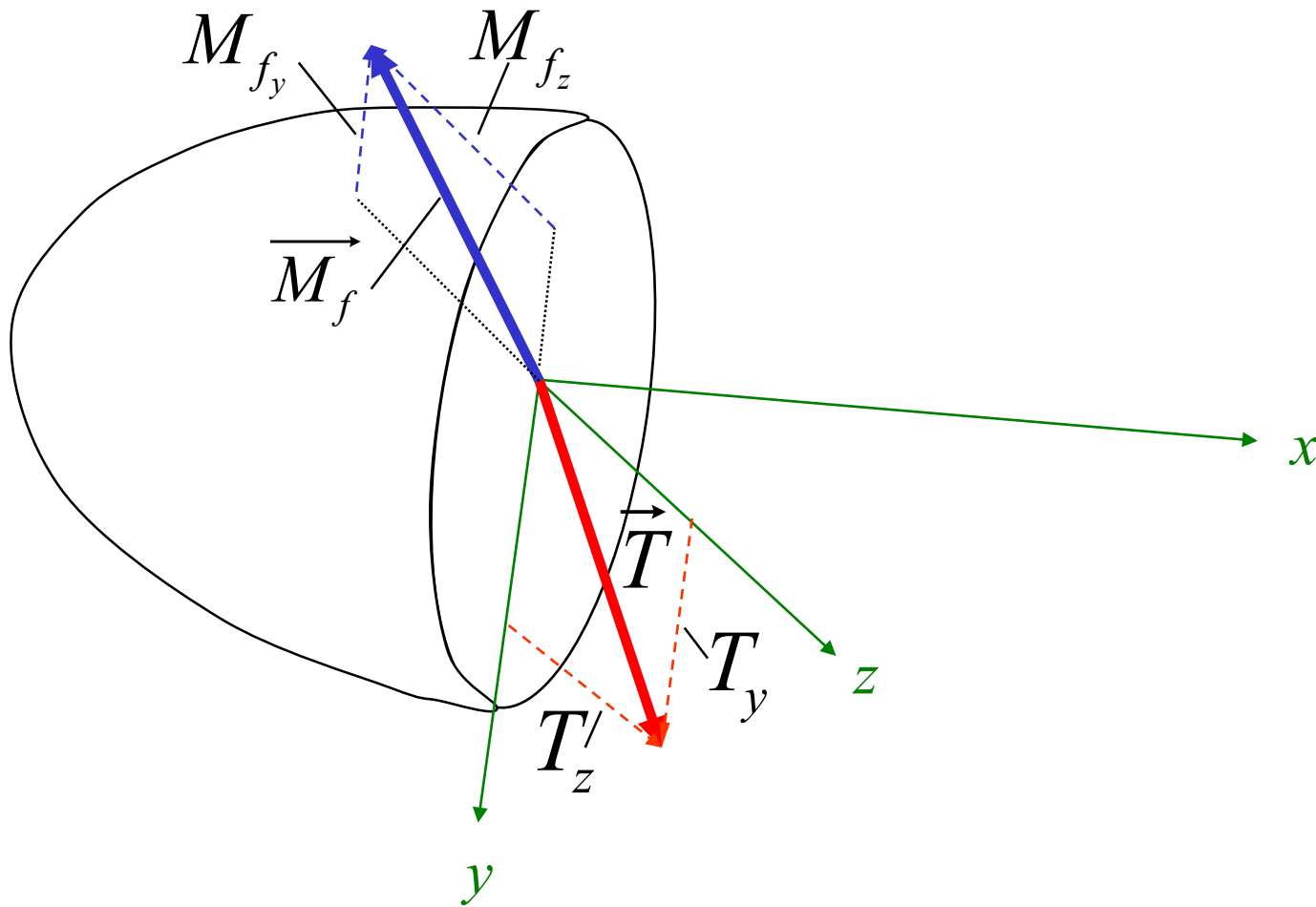
x

$\vec{R} \rightarrow \vec{N}$: traction, compression
effort normal

$\rightarrow \vec{T}$: cisaillement
effort tranchant dans Oyz

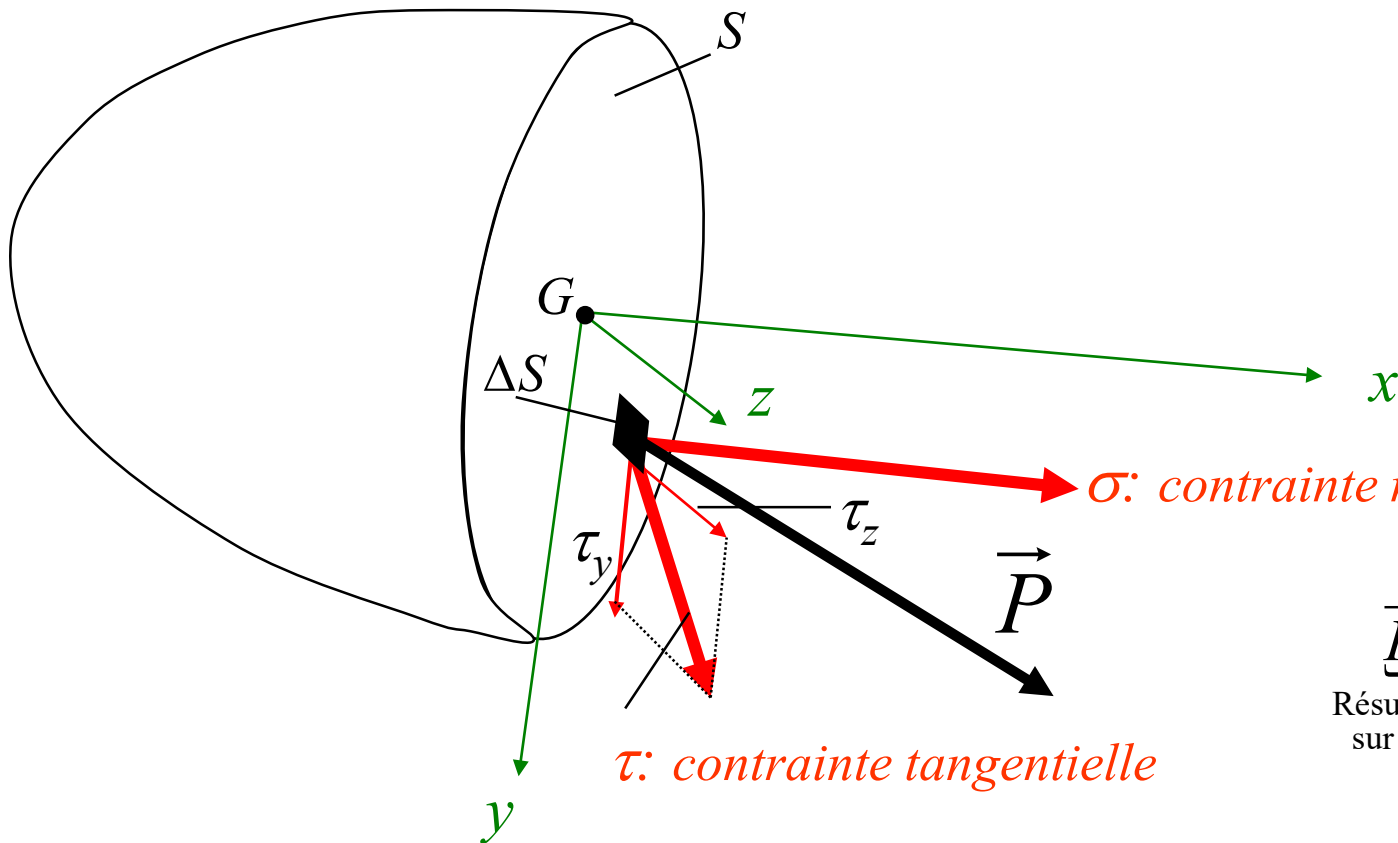
Efforts intérieurs

16



Contraintes

17



$$\underbrace{\vec{P}}_{\substack{\text{Résultante} \\ \text{sur } \Delta S}} = \lim \frac{\overrightarrow{\Delta P}}{\Delta S} = \frac{\overrightarrow{dP}}{dS}$$

$\uparrow \text{lim lorsque } \Delta S \rightarrow 0$

$$Pa = \frac{N}{m^2}; \quad MPa = \frac{N}{mm^2}; \quad 1 MPa = 10 bar; \quad 1 bar = 10^5 Pa; \quad \left(\frac{Kg}{mm^2} = \frac{10N}{mm^2} = 10 MPa = 100 bar \right)$$

L'action des forces intérieures spécifiques, c'est-à-dire des contraintes agissant sur une section d'un solide en équilibre est équivalente à...

...l'action des forces extérieures appliquées sur l'une ou l'autre des parties du solide séparées par la section considérée

Torseur des efforts intérieurs

19

$$N = \iint_S \sigma \cdot dS$$

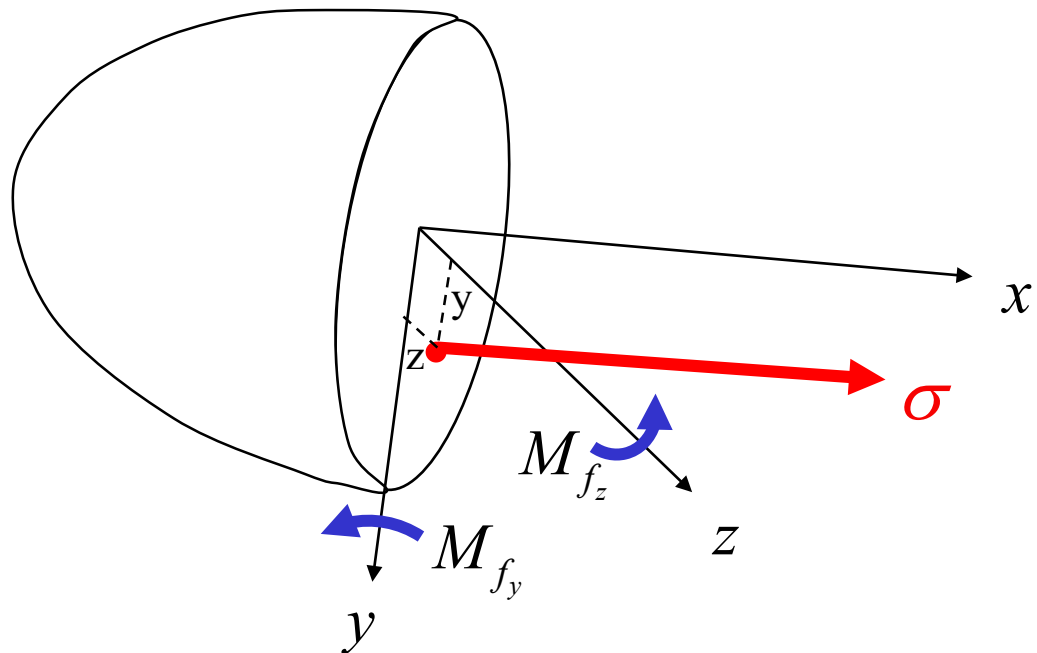
$$T_y = \iint_S \tau_y \cdot dS$$

$$T_z = \iint_S \tau_z \cdot dS$$

$$M_{f_y} = \iint_S \sigma \cdot z \cdot dS$$

$$M_{f_z} = - \iint_S \sigma \cdot y \cdot dS$$

$$M_t = \iint_S (\tau_z \cdot y - \tau_y \cdot z) dS$$



Cas particuliers d'efforts intérieurs

20

Le torseur se réduit à



- Traction/compression \rightarrow si seulement si $N \neq 0$
 - $N > 0$ traction sur A de B
 - $N < 0$ compression
 - σ constante sur S
- Cisaillement \rightarrow ssi $\vec{T} \neq 0$, $\vec{\tau}$ constante en grandeur et direction sur S
- Torsion simple \rightarrow ssi $\vec{M}_t \neq 0$, composante tangentielle varie en intensité et direction
- Flexion simple \rightarrow ssi $\vec{M}_f \neq 0$ et \vec{T} sont perpendiculaires
- Flexion pure \rightarrow ssi $\vec{M}_f \neq 0$, $f(x) = \text{cste}$, $\vec{T} = 0$

- Moments statiques (1er ordre)

$$\overrightarrow{M}_S = \sum m_i \cdot \vec{r}_i$$

$$M_{S_x} = \sum m_i \cdot y_i \quad \text{par rapport à } Ox$$

- Moments d'inertie (2ème ordre)

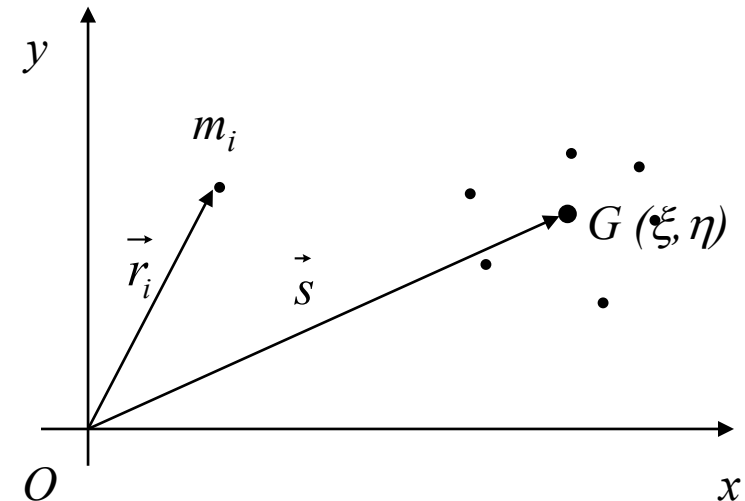
$$I = \sum m_i \cdot r_i^2 \quad r_i = \left| \vec{r}_i \right|$$

$$I_x = \sum m_i \cdot y_i^2$$

$$I_y = \sum m_i \cdot x_i^2$$

- Moment centrifuge ou produit d'inertie

$$I_{xy} = \sum m_i \cdot x_i y_i$$

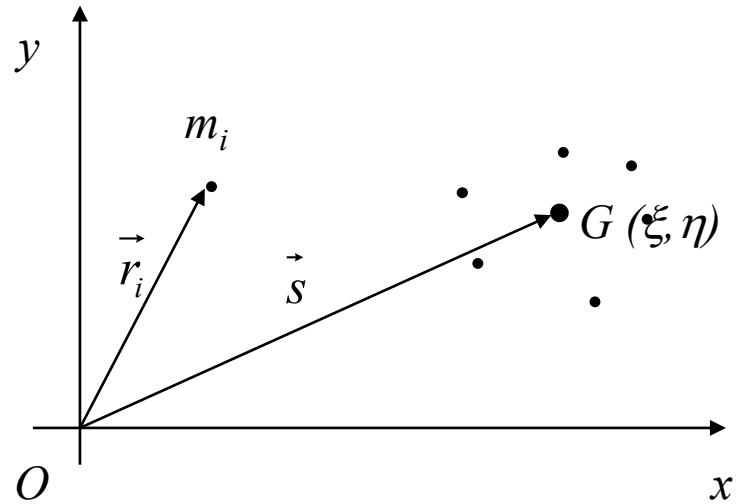


- Le Centre d'inertie $G(\xi, \eta)$ est le point où la masse totale M donne le même $\overrightarrow{M_s}$ que celui des m_i

$$M \cdot \vec{s} = \overrightarrow{M_s} \quad \Rightarrow \quad \vec{s} = \frac{\sum m_i \cdot \vec{r}_i}{\sum m_i}$$

$$\xi = \frac{\sum m_i \cdot x_i}{M} = \frac{M_{s_y}}{M}$$

$$\eta = \frac{M_{s_x}}{M}$$



On peut montrer que $\overrightarrow{M_s}$ est nul par rapport à un axe passant par G

Moments d'une aire plane

23

(caractéristiques géométriques des sections)

- Moments statiques

$$\overrightarrow{M}_S = \int_S \vec{r} \cdot dS$$

$$M_{S_x} = \int_S y \cdot dS$$

$$M_{S_y} = \int_S x \cdot dS$$

- Moments d'inertie

$$I = \int_S r^2 \cdot dS$$

$$I_x = \int_S y^2 \cdot dS$$

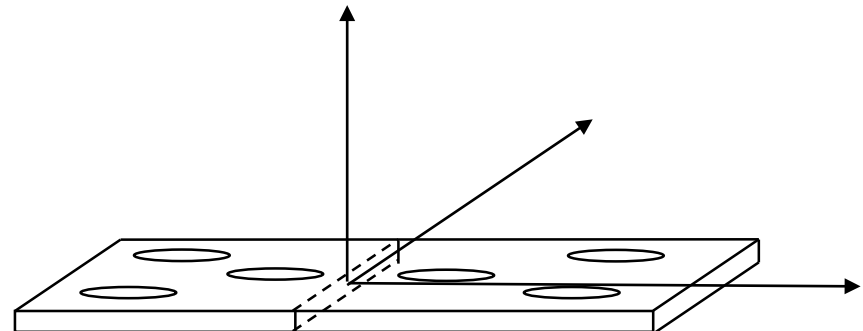
$$I_y = \int_S x^2 \cdot dS$$

$$I = I_x + I_y = I_{\text{polaire}}$$

$$S = \int_S dS$$

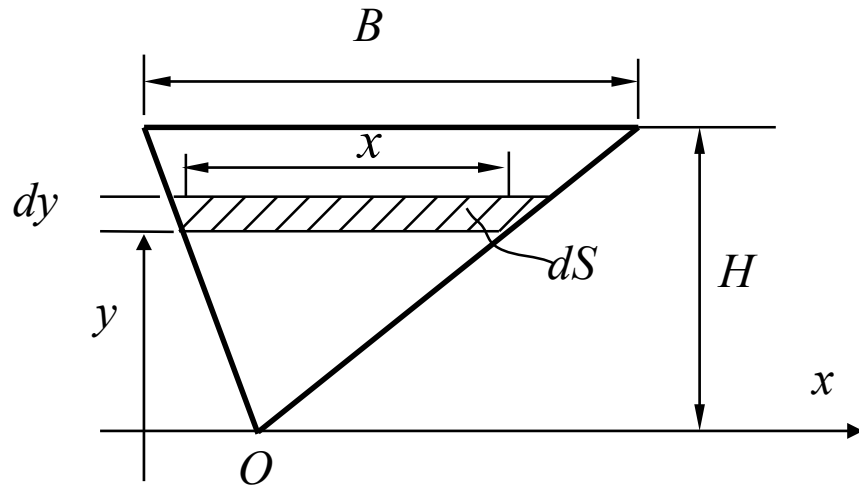
- Moment centrifuge

$$I_{xy} = \int_S x \cdot y \cdot dS$$



Exo: Centres d'inertie

24



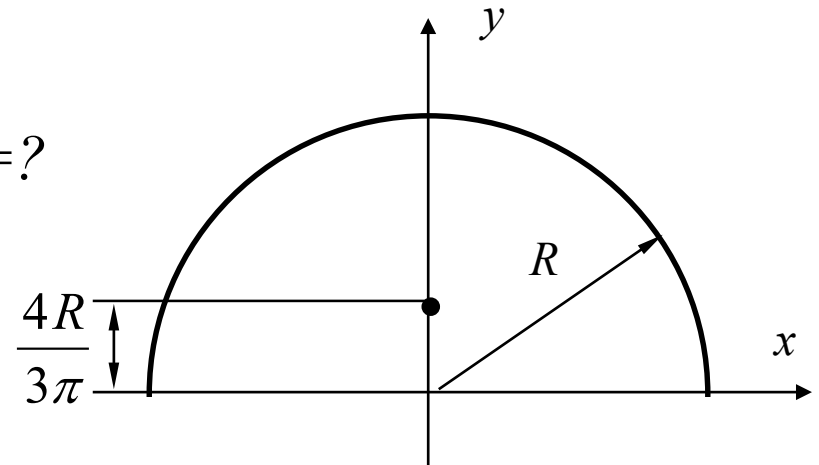
$$G(\xi, \eta) = ?$$

$$M_{S_x} = \int_S y \cdot dS \quad \text{où} \quad \frac{B}{x} = \frac{H}{y} \quad \text{et} \quad dS = x \cdot dy$$

$$= \int_0^H y \cdot \left(\frac{B \cdot y}{H} \cdot dy \right)$$

$$M_{S_x} = \frac{H^2 B}{3} \quad \text{où} \quad S = \frac{BH}{2}$$

$$M_{S_x} = \eta \cdot S \Rightarrow \eta = \frac{M_{S_x}}{S} = \frac{2}{3}H$$



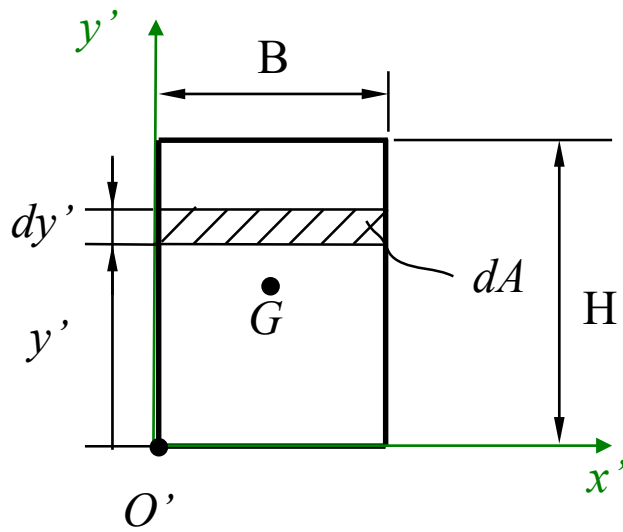
$$\boxed{\eta = \frac{4R}{3\pi}}$$

Exo: Moment d'une aire plane

25

Moments d'inertie d'une section rectangulaire par rapport à O et G

Cas A: origine O' sur un des sommets



$$I_{x'} = \int_A y'^2 \cdot dA = \int_0^H y'^2 \cdot B \cdot dy' = \frac{BH^3}{3}$$

$$I_{y'} = \frac{HB^3}{3}$$

$$I = I_{x'} + I_{y'}$$

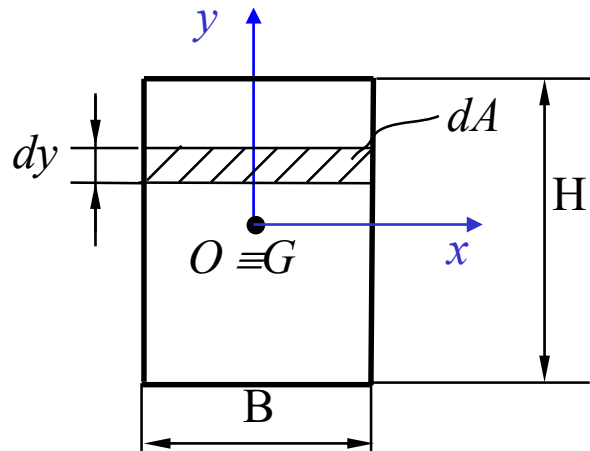
$$I_{x'y'} = \int_A x' \cdot y' \cdot dA = \int_0^H \int_0^B x' \cdot y' \cdot dx' dy' = \frac{B^2 H^2}{4}$$

Moment d'une aire plane: translation des axes

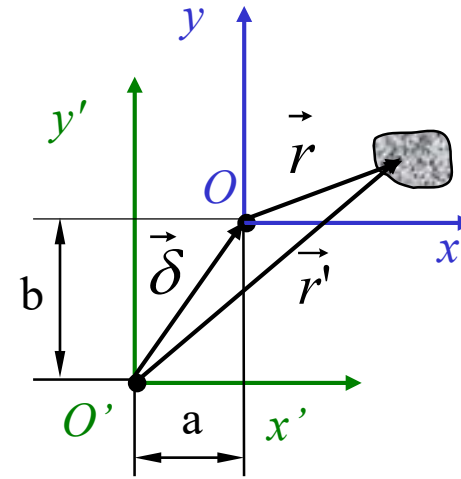
26

Moment d'inertie d'une section rectangulaire par rapport à O et G

Cas B: origine $O \equiv G$



Translation des axes



$$\vec{r}' = \vec{\delta} + \vec{r}$$

$$x' = x + a$$

$$y' = y + b$$

$$I_{x'} = \int_A y'^2 \cdot dA = \int (y + b)^2 dA = \int y^2 dA + 2b \int y dA + b^2 \int dA$$

$$I_{x'} = I_x + 2b \cdot M_{s_x} + b^2 A$$

Idem pour I_y , même raisonnement pour I_{xy}

Si $O \equiv G$ centre d'inertie $\Rightarrow M_s = 0$

$$I_{x'} = I_x + b^2 A$$

$$I_{y'} = I_y + a^2 A$$

$$I_{x'y'} = I_{xy} + abA$$

$$a = \frac{B}{2} \quad \text{et} \quad b = \frac{H}{2}$$

$$I_x = I_{x'} - b^2 A = \frac{B \cdot H^3}{3} - \left(\frac{H}{2}\right)^2 BH = \frac{BH^3}{12}$$

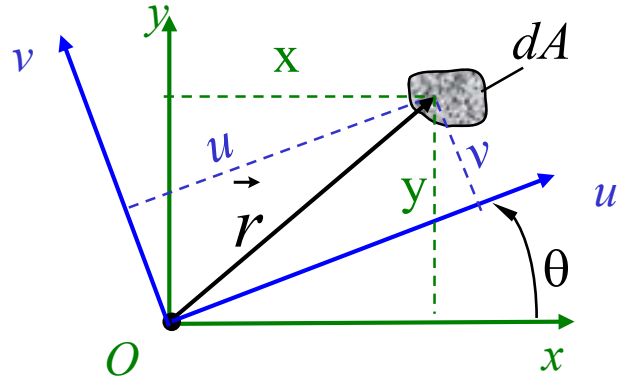
$$\Rightarrow I_y = I_{y'} - a^2 A = \frac{B^3 H}{12}$$

$$I_{xy} = I_{x'y'} - abA = \frac{B^2 H^2}{4} - \frac{B}{2} \frac{H}{2} BH = 0$$

Car les axes xy sont principaux d'inertie

Rotation des axes et moments principaux d'inertie

28



Rotation ≡

$$u = x \cos \theta + y \sin \theta$$

$$v = y \cos \theta - x \sin \theta$$

$$\begin{aligned}
 I_u &= \int_A v^2 dA \\
 &= \cos^2 \theta \int_A y^2 dA + \sin^2 \theta \int_A x^2 dA - 2 \sin \theta \cos \theta \int_A xy dA \\
 &= \cos^2 \theta I_x + \sin^2 \theta I_y - 2 \sin \theta \cos \theta I_{xy} \\
 \text{avec la trigonométrie}
 \end{aligned}$$

$$= \frac{1 + \cos 2\theta}{2} I_x + \frac{1 - \cos 2\theta}{2} I_y - \sin 2\theta I_{xy}$$

$$I_u = \frac{1}{2} (I_x + I_y) + \frac{1}{2} (I_x - I_y) \cos 2\theta - I_{xy} \sin 2\theta$$

idem pour I_v

$$I_v = \frac{1}{2} (I_x + I_y) - \frac{1}{2} (I_x - I_y) \cos 2\theta + I_{xy} \sin 2\theta$$

I_u et I_v oscillent autour de la valeur moyenne $\frac{I_x + I_y}{2}$

en dérivant I_u et I_v par rapport à 2θ :

$$-\frac{dI_u}{d(2\theta)} = +\frac{dI_v}{d(2\theta)}$$

les extrema sont donnés par $\frac{d}{d(2\theta)} = 0 \Rightarrow \tan 2\theta = -\frac{2I_{xy}}{I_x - I_y} = \frac{2I_{xy}}{I_y - I_x}$

Cette relation est satisfaite pour 2 valeurs de θ entre 0 et π qui correspondent à un maximum I_1 et un minimum I_2 qui sont les moments principaux d'inertie.

Les axes correspondant avec θ satisfaisant la relation sont les axes principaux d'inertie pour lesquels le moment centrifuge I_{12} est nul par définition.

- Moments statiques M_{Sx} , M_{Sy}
- Moments d'inertie I_x , I_y , $I_p = I_x + I_y$
- Moment centrifuge ou produit d'inertie I_{xy}
- Centre d'inertie $G(\xi, \eta)$
- Axes principaux d'inertie

$$\begin{aligned} I_{x \max} &= I_1 & \theta = 0 \\ I_{y \max} &= I_2 & \operatorname{tg} 2\theta = -\frac{2I_{xy}}{I_x - I_y} \\ & & \theta = \pi \end{aligned}$$

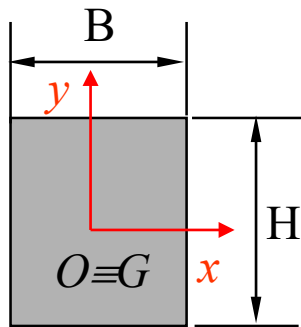
Moments d'inertie

31

$$I_x = \frac{BH^3}{3}$$

$$I_y = \frac{B^3H}{3}$$

$$I_{xy} = \frac{B^2H^2}{4}$$



$$I_x = \frac{BH^3}{12}$$

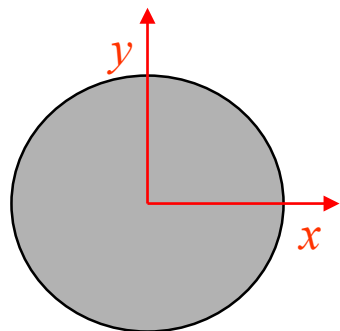
$$I_y = \frac{B^3H}{12}$$

$$I_{xy} = 0$$

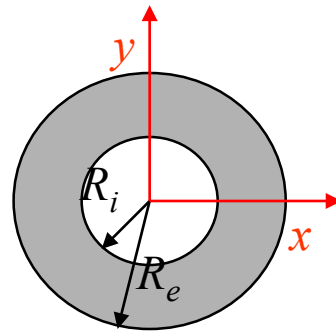
$$I_y = \frac{1}{8}\pi R^4$$

$$I_{xy} = 0$$

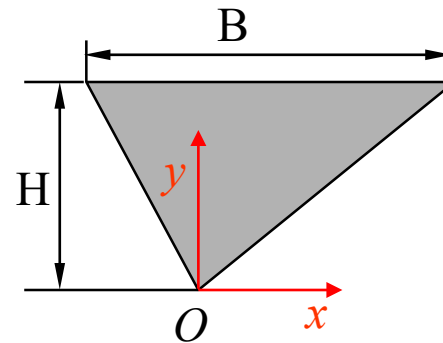
$$I_{x'} = \left(\frac{\pi}{8} - \frac{8}{9\pi}\right)R^4$$



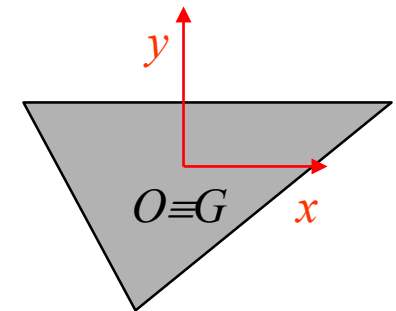
$$I_x = I_y = \frac{\pi D^4}{64} = \frac{\pi R^4}{4}$$



$$I_x = \frac{\pi}{4} \left(R_e^4 - R_i^4 \right)$$

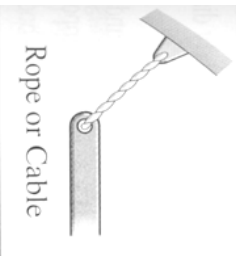
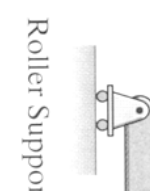


$$I_x = \frac{BH^3}{4}$$



$$I_x = \frac{BH^3}{36}$$

Appuis 2D

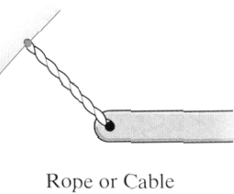
Supports	Reactions
Rope or Cable	
Spring	
Contact with a Smooth Surface	
Pin Support	
Equivalents	
Constrained Pin or Slider	
Built-in (Fixed) Support	

Bedford, 2003

Appuis 3D

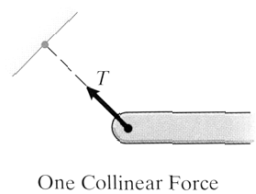
33

Supports



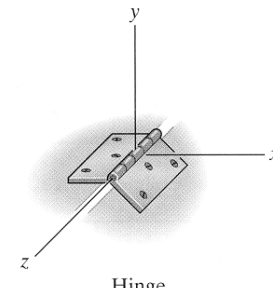
Rope or Cable

Reactions



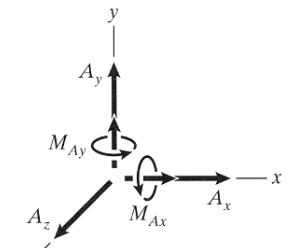
One Collinear Force

Supports



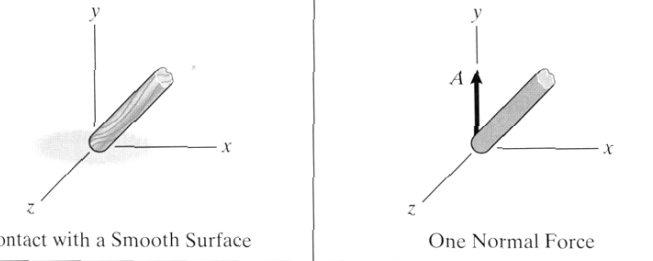
Hinge
(The z axis is parallel to the hinge axis.)

Reactions



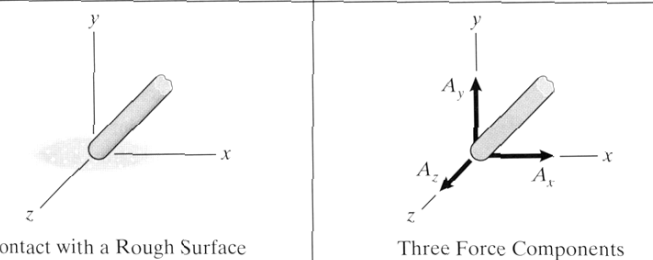
Three Force Components,
Two Couple Components

Contact with a Smooth Surface



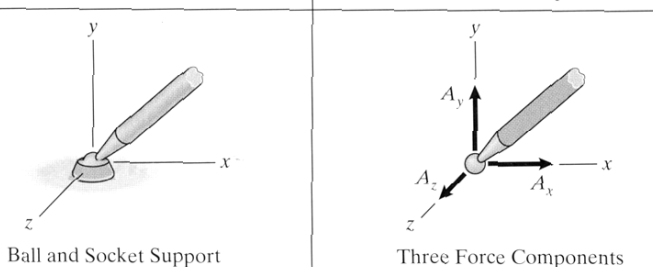
One Normal Force

Contact with a Rough Surface



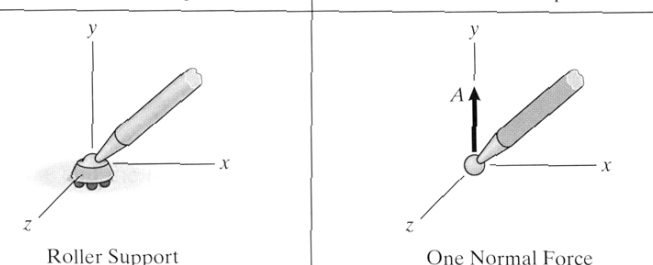
Three Force Components

Ball and Socket Support

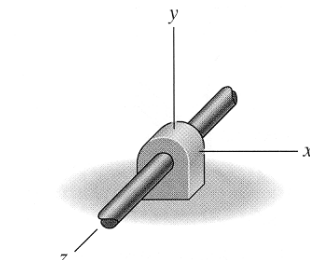


Three Force Components

Roller Support

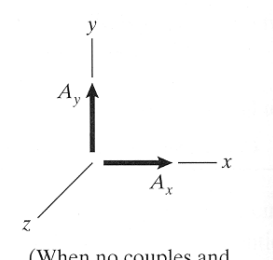


One Normal Force

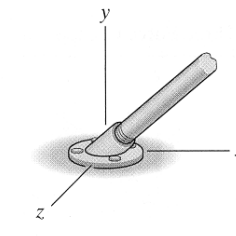


Bearing
(The z axis is parallel to the axis of the supported shaft.)

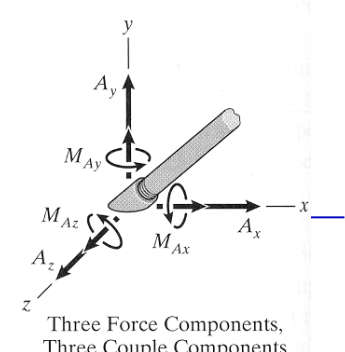
(When no couples are exerted)



(When no couples and no axial force are exerted)



Built-in (Fixed) Support



Three Force Components,
Three Couple Components

Bedford, 2003